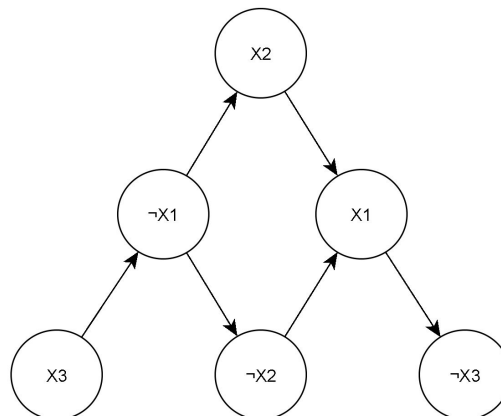




## Prova 3 NP-completude

**Questão 1) 2-SAT:**  $(x_1 \vee \overline{x_2}) \wedge (\overline{x_1} \vee \overline{x_3}) \wedge (x_1 \vee x_2) \wedge x_3$

A forma conjuntiva normal do 2-SAT a partir da expressão acima, é definida pela seguinte regra : para cada item  $(A \vee B)$  da equação, em que  $A$  e  $B$  são literais, criam-se as arestas  $\overline{A}B$  e  $\overline{B}A$ . Clarificando, no primeiro termo, o vértice  $\overline{A}$  é direcionado a  $B$ , formando a aresta direcionada  $(\overline{A}, B)$ . O mesmo vale para o segundo termo. Aplicando esta regra ao 2-SAT dado, obtemos:



**Afirmção:** Por indução, podemos analisar que, se o grafo  $G$  contém um caminho de  $x_i$  para  $x_j$ , existe também o caminho de  $\overline{x_j}$  para  $\overline{x_i}$ .

**Prova:** Pela definição de construção do 2-SAT, se há uma aresta  $(x_1, x_2)$  em um digrafo, então também existe uma aresta  $(\overline{x_2}, \overline{x_1})$ . Dessa forma, dado o caminho  $(x_i \rightarrow x_{(i+1)} \rightarrow \dots \rightarrow x_j)$ , então também existem as arestas  $(x_i, x_{(i+1)})$ ,  $(x_{(i+1)}, x_{(i+2)})$ , ...,  $(x_{(i+n)}, x_j)$  que formam o caminho. De forma análoga, por indução, existem

também as arestas  $(\overline{x_j}, \overline{x_{(i+n)}}), (\overline{x_{(i+n-1)}}, \overline{x_{(i+n-2)}}), \dots, (\overline{x_{(i+1)}}, \overline{x_i})$  e portanto o caminho inverso existe e é dado por  $(\overline{x_j} \rightarrow \overline{x_{(i+n)}} \rightarrow \dots \rightarrow \overline{x_i})$ .

Afirmção: Um grafo G contendo um caminho  $(x_i, \dots, \overline{x_i})$  não satisfaz a condição 2-CNP.

Prova: Qualquer escolha de valores para os N vértices de G não resultará em 1.

Usando como base a instância de 2-SAT, temos:

$$(x_1 \vee \overline{x_2}) \wedge (\overline{x_1} \vee \overline{x_3}) \wedge (x_1 \vee x_2) \wedge x_3$$

Realizando a primeira operação de interseção, temos:

$$(x_1 \wedge \overline{x_1}) \vee (x_1 \wedge \overline{x_3}) \vee \dots$$

Com isso, vemos que o primeiro termo representa um caminho entre  $x_1$  e  $\overline{x_1}$ , mostrando a condição insatisfatória.

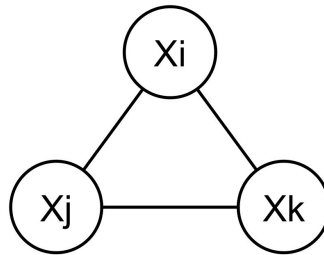
Portanto, basta achar um caminho de  $(x_i, \dots, \overline{x_i})$  para mostrar a condição insatisfatória presente em um digrafo G fruto de um problema 2-SAT. Ao utilizarmos um algoritmo de busca em profundidade ou largura (que possuem complexidade temporal polinomial, como o DFS e o BFS), podemos detectar a indeterminação presente nestes dígrafos.

Logo, o 2-SAT acima pertence a classe de problemas que podem ser determinados em tempo polinomial, ou seja,  $2\text{-SAT} \in P$ .

## Questão 2)

Para provar que um problema de HAM-CYCLE pertence a classe de problemas NP-Completo, por definição, devemos provar que este mesmo problema pertence a classe de problemas NP e também NP-Difícil.

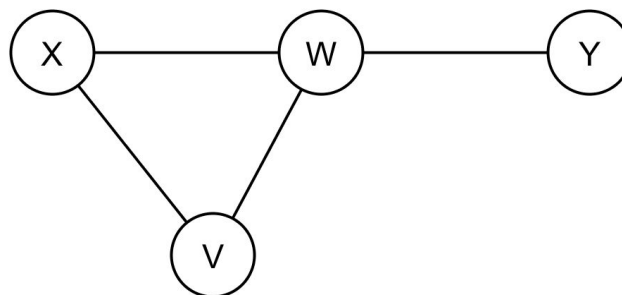
Para provar que um problema HAM-CYCLE  $\in$  NP, podemos analisar um Grafo genérico  $G$  representado por um HAM-CYCLE, como o abaixo.



Obtendo este Grafo, vemos que para provar seu HAM-CYCLE, basta utilizar um algoritmo de busca em largura ou profundidade, checando se a respectiva aresta já foi visitada. Esta solução possui custo de verificação em tempo proporcional a  $O(V + E)$ , sendo então um custo polinomial e portanto HAM-CYCLE  $\in$  NP.

Agora, para provar que um problema HAM-CYCLE  $\in$  NP-Difícil, inicialmente precisaremos partir de uma solução já existente em SAT, 3-SAT ou CLIQUE, pois as três classes de problemas estão dentro de problemas NP-Completo.

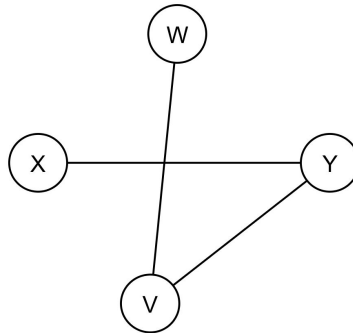
Considere o Grafo  $G(V, E)$  abaixo:



O problema de cobertura de vértices consiste em um subconjunto  $V'$  de  $V$ , para um grafo  $G(V, E)$ , em que  $V'$  corresponde aos vértices que cubram as respectivas arestas incidentes de  $G$  e não possui arestas em  $E$ .

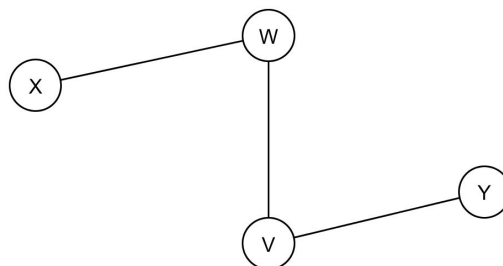
Considere um número arbitrário  $J$ , em que  $J = V'$  do grafo  $G$ , para confirmar se  $J = V'$ , basta percorrer o subconjunto  $V'$  e verificar se todas as novas arestas ali presentes cobrem  $V$ . Para isso, pode-se utilizar um algoritmo de busca em largura ou profundidade, com complexidade  $O(V + E)$ . Portanto, cobertura de vértices  $\in$  NP.

O grafo em questão contém o 3-CLIQUE  $(x, v, w)$ . Ao analisarmos o problema de cobertura de vértices deste grafo, obtemos:

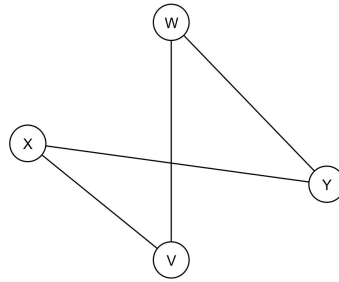


Com este grafo resultante, a solução do problema de cobertura de vértices torna-se polinomial. Adicionalmente, o problema de cobertura de vértice possui custo de verificação em tempo proporcional a  $O(V + E)$ . Portanto, o problema da cobertura de vértices é provado NP-Completo por transferência por CLIQUE.

Considerando agora o seguinte Grafo:



Ao analisarmos o problema de cobertura de vértices para este Grafo, vemos que  $V' = \{V, W\}$ , e obtemos o seguinte grafo complementar:



Podemos notar que este subgrafo também é um HAM-CYCLE, já que existe um ciclo que visita todos os vértices uma única vez. Logo está provado que  $\text{HAM-CYCLE} \in \text{NP-Difícil}$ . Juntando esta prova com a inicial do problema, de que  $\text{HAM-CYCLE} \in \text{NP}$ , está provado que  $\text{HAM-CYCLE} \in \text{NP-Completo}$ .

#### Questão 4)

Partindo da seguinte instância FNCX-SAT como exemplo:

$$(x_1 \oplus x_2 \oplus \overline{x_3} \oplus x_4) \wedge (x_2 \oplus x_3)$$

pode-se provar que FNCX-SAT é satisfazível em tempo polinomial ao reduzir a equação usando a seguinte lógica:

Seguindo a definição, um literal em aritmética MOD 2 pode ser escrito como:

$$\overline{x_i} = x_i + 1$$

A operação lógica de XOR é equivalente a aritmética em módulo 2.

Logo, ao representar a instância acima em MOD 2, podemos obter as seguintes expressões:

$$(x_1 + x_2 + (x_3 + 1) + x_4) \wedge (x_2 + x_3) \text{ MOD } 2$$

Assim, para a expressão acima ser satisfazível, a seguinte relação deve se manter:

$$\begin{aligned} (x_1 + x_2 + (x_3 + 1) + x_4) &= 1 \\ (x_2 + x_3) &= 1 \end{aligned}$$

Como pode ser visto, o FNCX-SAT pode ser representado como um sistema de equações lineares do tipo MOD 2.

Utilizando a propriedade de operação lógica, temos :

$$(x_i \oplus x_j) = (x_j \oplus x_i)$$

e também que

$$(x_i \oplus x_i) = 0$$

Assim, podemos montar a matriz equivalente ao sistema acima:

$$\begin{bmatrix} x_1 & x_2 & (x_3 + 1) & x_4 \\ & x_2 & x_3 & \end{bmatrix} = \begin{bmatrix} 1 \\ 1 \end{bmatrix}$$

A matriz em questão pode ser resolvida utilizando a técnica de Redução Gaussiana.

A execução do algoritmo de eliminação gaussiana executa os seguintes tipos de operações elementares:

- Executa a troca de duas linhas
- Multiplica a linha por um número não nulo
- Adiciona o múltiplo de uma linha na outra.

Efetivamente sendo calculado apenas a parte superior da matriz triangular (como explicado acima, elementos  $A_{ij}$ , em que  $i = j$ , possuem o valor nulo, e os elementos  $A_{ij}$  são equivalentes aos  $A_{ji}$ .

Dessa forma, sabendo que são necessárias  $\frac{n*(n+1)}{2}$  divisões,  $\frac{2*n^3 + 3*n^2 - 5*n}{6}$  multiplicações e  $\frac{2*n^3 + 3*n^2 - 5*n}{6}$  subtrações. Vemos que são necessárias aproximadamente  $\frac{2*n^3}{3}$  operações.

Portanto, vemos que a solução pode ser encontrada em tempo  $O(n^3)$ , então  $\text{FNCS-SAT} \in \text{P}$ .